# 第34回 日本小児放射線学会教育講演より

# 新生児中枢神経疾患の超音波診断

石藏礼一,安藤久美子,池田譲太,冨永 了,中尾宣夫,森川 努<sup>1</sup> 兵庫医科大学 放射線医学教室,宝塚市立病院 放射線科<sup>2</sup>

Transcranical Neurosonography of Infantile Diseases

Reiichi Ishikura, Kumiko Ando, Jouta Ikeda, Satoru Tominaga, Norio Nakao, Tsutomu Morikawa<sup>1)</sup>

> Department of Radiology, Hyogo College of Medicine Department of Radiology, Takaraduka Municipal Hospital<sup>15</sup>

Abstract Ultrasonography is one of the most useful diagnostic tool for infants because of its non-invasiveness and feasibility for repeated examination. During infancy we can use anterior fonticulus for acoustic window to examine intracranial diseases by ultrasonography. Sector type probe of 5.5MHz is favorable for screening examination. Although most pathologic lesions such as hematomas, ischemic lesions and tumors show hyperechogenisity on B-mode ultrasonography, diagnosis is usually easy because each disease occurs at specific location of specific aged infant. In this paper, we explain sonographic features of normal brain anatomy and common intracranial diseases of infants such as intraventraicular hemorrahages, asphyxic-ischemic diseases, intracranial infectious diseases, hydroceohalus, and congenital brain tumors. We also present intracranial vascular imagings shown by power Doppler ultrasonography which is suggested to add some qualitative information to B-mode sonography.

Key words Ultrasonography, Transcranial, Infant, Brain Diseases

#### はじめに

新生児の中枢神経疾患はほとんどが出血または虚血性疾患であり、疾患の原因と患児の修正齢によって病変部位が特異的という特徴をもつ。またそれらの病変は繰り返しの経過観察が必要である。しかし、患児の多くは早期産児でありクベース内で集中治療を受けている。超音波検査は質的診断ではCT、MRIに劣るが存在診断には優れ、ベッドサイドで簡便検査を行え

る点で、新生児の検査法としては最も優れている。幸い新生児では大泉門をアコースティック・ウィンドウとして用いうるため超音波による 頭蓋内病変の検索が可能である。

本稿では、新生児中枢神経疾患の超音波診断について主な疾患のB-モード像の特徴について概説するとともに、筆者らが検討を行っているパワードップラー法の有用性についても簡単にふれる.

# 検査手技と正常解剖

当施設では横河 LOGIQ 500を使用し5.5 MHzのセクター型プローベを基本として、深部の観察には3.5 MHz、硬膜下水腫などの表層の病変には7.5 MHzのプローベを使用している $^{10}$ .

アコースティック・ウィンドウには基本的に大泉門を用いているが、後頭蓋窩の観察には小泉門、頭蓋底の観察には側頭部からのアプローチを適宜加えている。超音波画像は冠状断像、矢状断像を基本とする<sup>23</sup>.標準設定断面は冠状断像は前頭葉から側脳室体部を確認し側脳室後方の頭頂葉白質までの6スキャン、矢状断像はシルビウス裂から側脳室後角レベル、正中構造レベルを含み両側で7スキャンを基本とする.

B-モード法にて、大脳実質に比べ脳溝はや や高輝度に、脳槽と脳室は低輝度に、脈絡叢は 高輝度に描出される。また小脳半球は大脳実質 に比べて高輝度をしめす<sup>23</sup>.

胎生期後半は脳回の形成が進む時期である<sup>33</sup>.このため在胎が短い症例では正期産児に比して脳回の形成が未熟である.胎齢30週以下の早期産児ではしばしば小脳低形成や滑脳症に似た所見が得られるが,週を重ねるにつれて正常脳回の形成を認める<sup>4,5)</sup>.(Fig.1)

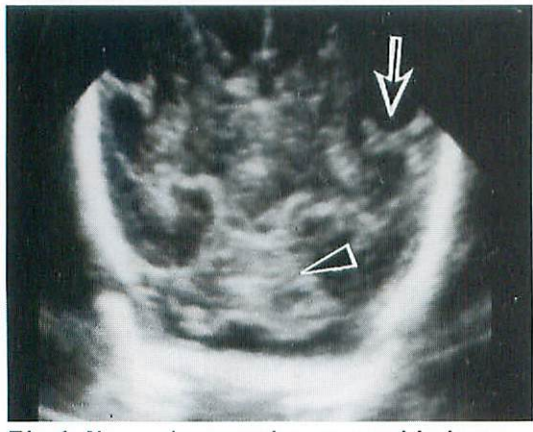


Fig.1 Normal coronal sonographic image of preterm infant ( 26th week of gestational age)

Sylvian fissures are shallow mimicking lissencephaly(arrow). Also note the small cerebellum(arrowhead).

#### B-モード法による疾患別超音波所見

#### 1)頭蓋内出血

頭蓋内出血は早期産児・正期産児ともにおこりうるが、早期産児の方が頻度が高く、原因は新生児仮死などの低酸素・虚血状態が多い。 正期産児では出血素因・外傷・血管奇形・出血性梗塞などが原因となる。部位別にみると、早期産児では脳室上衣下出血、脳室内出血が多いのに対して、正期産児では皮質・皮質下出血・硬膜下血腫が多い、3.8.

脳室上衣下出血は脳室上衣下胚層(subependymal germinal matrix)からの出血である。germinal matrixは胎生初期に脳室周囲に見られ、尾状核頭部から視床で厚いが、胎齢が進むにつれ退縮し、正期産児では痕跡的となる。従って脳室上衣下出血は早期産児に多く、正期産児では少ない。脳室上衣下出血はしばしば脳室内への穿破を来し、脳室拡大の原因となる。臨床分類はPapileによってなされたものが一般に用いられている(Table 1)100.

Grade I の脳室上衣下出血は側脳室脈絡叢の前縁の前方に高輝度の腫瘤影として見られる. 小さい出血は正常な脈絡叢との鑑別が困難である(Fig.2a). 慢性期にはしばしば嚢胞様変化を来して内部が低輝度領域を呈する. Grade II でみられる脳室内出血は少量であることが多く,側脳室後角または三角部の脈絡叢に付着した血腫が見られる(Fig.2b). Grade II では,拡大した側脳室内に大量の血腫をみることが多い(Fig.2c). なお正期産児の脳室内血腫は脈絡叢そのものからの出血であると考え

Table 1 Intracranial Hemorrhages of Infants (Modified from Papile<sup>10)</sup>)

Grade I : Germinal matrix hemorrhages

Grade II: Intraventericular hemorrhages without ventricular dilatations

GradeⅢ: Intraventericular hemorrhages with ventricular dilatations

GradeIV: Intraventericular hemorrhages with periventricular hemorrhages

られている。Grade IVでみられる脳内血腫は脳室周囲の白質に多い(Fig.2d)。periventricular echodensities(PVE)との鑑別が問題となるが、急性期では、著明な高輝度と内部の不均一さが、慢性期では壁の厚い嚢胞の形成が鑑別点となる<sup>11)</sup>。

硬膜下血腫は分娩時外傷に伴うものが多い.

急性期は高輝度、慢性期は低輝度として描出される<sup>123</sup>. 弯隆部の硬膜下血腫は表面に近くエコーで診断しにくい部位であるが7.5MHz以上の高周波数プローベが有用である。また吸引分娩でしばしば後頭部に見られる硬膜下血腫は大泉門からは観察しにくい。このような場合小泉門アプローチが有用となる<sup>133</sup>.

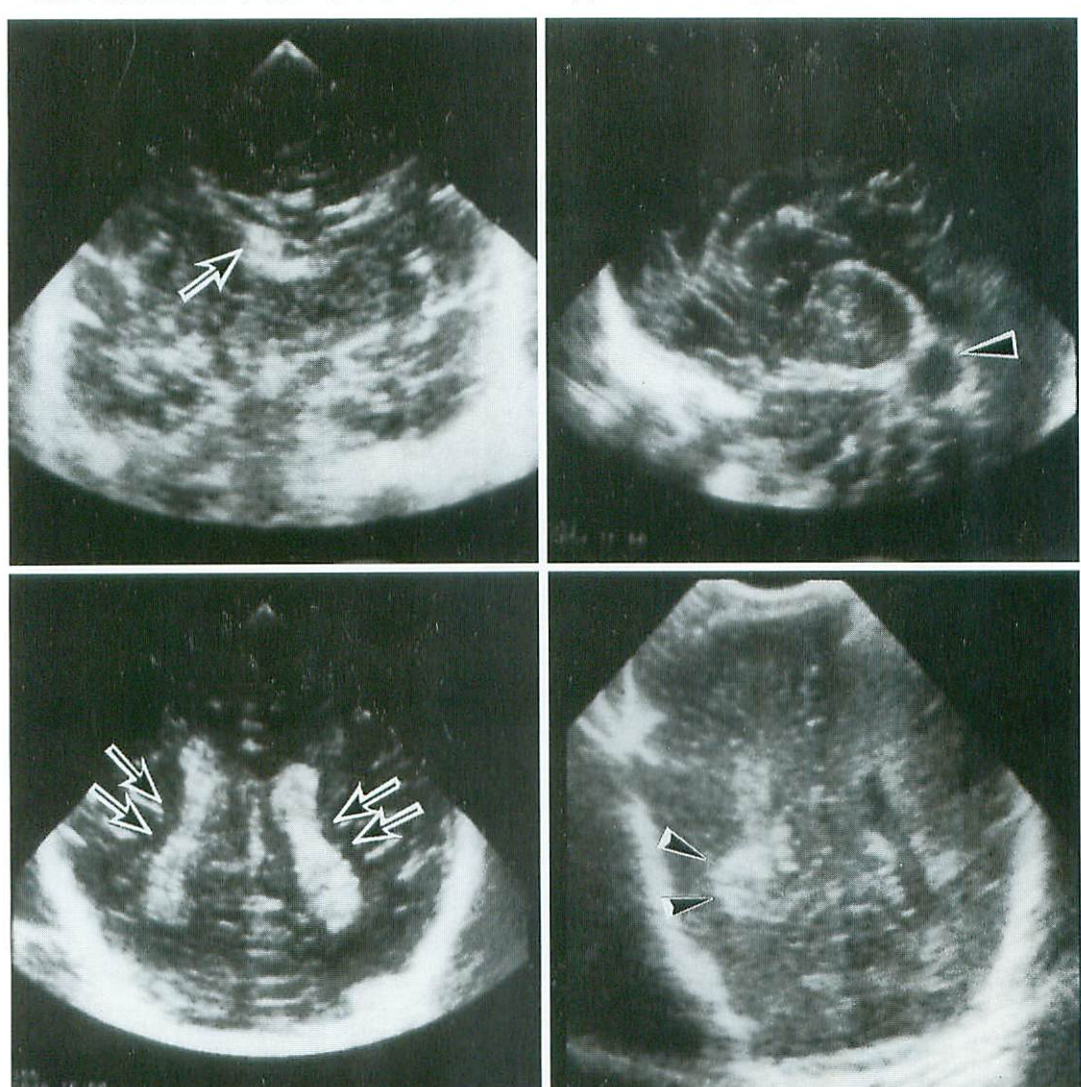


Fig.2 Intracranial hemorrhagic lesions

a : Coronal image of grade I intracranial hemorrhage (Subepnedymalhemorrhage:arrow)

b: Parasagittal image of grade II intracranial hemorrhage (Intraventricular hematoma of subacute phase without ventriculomegaly: arrowhead)

c: Paraaxial image of grade III intracranial hemorrhage (Massive intraventricular hemorrhage with ventriculomegaly: arrows)

d: Paraaxial image of gradelV intracranial hemorrhage (Intraparenchymal hemorrhage of acute phase: arrowheads)

a b

クモ膜下出血は外傷,重症の低酸素脳症などに伴うが,超音波では脳槽内が正常でも高輝度として見えるため見逃しやすい.細菌性髄膜炎とも画像上,鑑別困難である<sup>14</sup>.

#### 2) 低酸素虚血性疾患

低酸素虚血性疾患も早期産児と正期産児で好発部位が異なっている.早期産児では、脳室周囲白質脳症が多いのに対して、正期産児では基底核や皮質下梗塞、広汎な脳虚血が多い<sup>15</sup>.

脳室周囲白質軟化症(PVL)は脳室周囲白質に見られる多発性軟化巣である(Fig.2c). こ

の部位は早期産児においては解剖学的に脳表から脳室方向に向かうventiculopedal arteryと脳室方向から脳表に向かうventiculofugal arteryの分水嶺領域となっているため仮死、低酸素血症、血圧低下、脳血管の攣縮などによる虚血性変化を来しやすい<sup>16)</sup>. 好発部位は側脳室後角外側、放線冠、側脳室前角外側の脳室壁から3~10㎜の白質で、両側性に出現する.

超音波では、急性期には高輝度領域としてみられるが、次第に低輝度な嚢胞性病変となったあと、数ヵ月をかけて脳室拡大を残して吸収さ

a b

c d



Fig.3 Hypoxic-ischemic lesions

- a: Parasagittal image of grade I periventricular hyperechoic lesion of normal preterm infant
- b: Parasagittal image of grade III periventricula hyperechoic lesion of preterm infant with asphyxia
- c: Parasagittal image of periventridular leukomalacia (arrow) of the same infant seen in the follow up study.
- d : Coronal image of brain edema and pan-cerebral hyperechoic area due to diffuse cerebral insults.

れる<sup>17)</sup> (Fig.3a,b,c).

早期産児は正常例でも脳室後角周囲に軽度のPVEを伴っている。PVEの分類をTable 2 に示す<sup>15)</sup>.PVE 1 - 2 度の多くは成長とともに軽快するが、PVE 3 度を示す変化はしばしばPVLに移行するため、厳密な経過観察が必要である。

正期産児の脳梗塞は重症仮死、髄膜炎に伴うことが多く、基底核や前・中・後大脳動脈の分水嶺領域に多い。PVLを伴っていることもある。超音波上は急性期には高輝度領域と周囲の低輝度領域としてみられ、慢性期には萎縮、孔脳症(porencephaly)を来す。

広汎な脳虚血は著しい低酸素、低血糖状態を原因とし、正期産児に多い<sup>190</sup>. 急性期は脳浮腫により脳全体の輝度上昇を認め、脳溝が認めにくい(Fig.3d). 亜急性期には壊死によるSwiss cheese patternを示し、慢性期には脳萎縮を来す.

Table 2 Periventricular echodensities(PVE)
(Modified from Pedicick<sup>18)</sup>)

Grade 1: Echodensities less echogenic than the choroid plexus

Grade 2: Heterogenous periventericular echodensities equal in brightness to the chroid plexus

Grade 3: Heterogenous echodensities brighter than the choroid plexus or extending into the brain for a distance at least twice the diameter of the ventricles

#### 3) 頭蓋内感染症

新生児においては細菌性髄膜炎とそれに起因する脳室炎が多い. 起炎菌は黄色ブドウ球菌, 大腸菌, 緑膿菌が多く, しばしば敗血症に続発する<sup>20)</sup>.

初期の細菌性髄膜炎の超音波所見は、脳溝の 輝度上昇、軽度の脳室拡大である. 進行すると 硬膜下の液体貯留、脳浮腫による脳実質の輝度



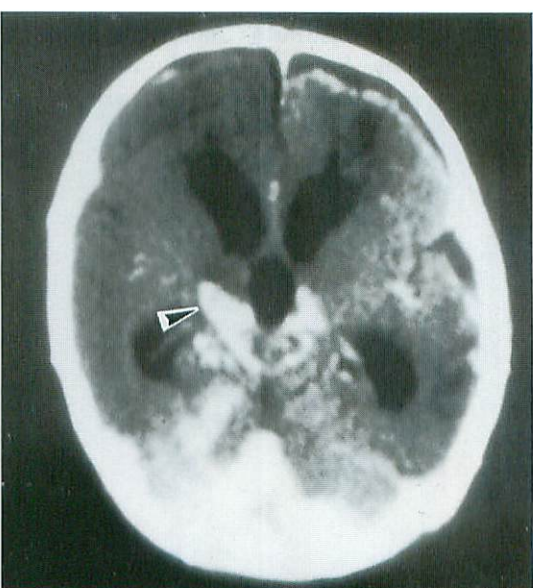


Fig.4 Bacterial meningitis with ventriculitis and thalamic abscess

a: Coronal echogram.

b: Contrast enhanced CT image. Ventricular wall shows hyper-echogenisity (arrow). Hyperechoic right thalamus (arrowhead) is enhanced by contrast medium on CT image and is suggested to be a brain abscess.

a b

上昇,水頭症,脳膿瘍などを認める.脳室炎を来すと超音波上拡大した脳室内の高輝度浮遊物と,脳室壁の輝度上昇が見られる(Fig.4a,b). 脳膿瘍は新生児にはまれであるが,超音波では急性期には全体に高輝度領域としてみられ,次第に中心に低輝度域が現れる.壁が厚く不整なことを特徴とする<sup>21</sup>.



Fig.5 Mid-sagittal echogram of obstructive hydrocephalus due to aquaduct stenosis (Stenotic aquaduct:arrow).

### 4) 水頭症

超音波検査は冠状断において、Monro孔、 矢状断において第3脳室-中脳水道-第4脳室 の観察が容易であり、非交通性水頭症と交通性 水頭症の鑑別、原因の検索に有用である (Fig.5). 非交通性水頭症の原因としては中 脳水道狭窄症、Chiari奇形などの先天奇形、 出血、炎症、髄芽腫などの腫瘍、交通性水頭症 の原因としては、脈絡叢乳頭腫などによる髄液 産生過剰、くも膜下出血や髄膜炎後の髄液吸収 不全が挙げられる<sup>22)</sup>.

#### 5) 脳腫瘍

生後1年以内に見られる脳腫瘍は先天性で発見時大きいことが多い。また1歳以降の小児と異なりテント上病変が多い<sup>23,24)</sup>.組織学的には、テント上では視床下部の星細胞腫、奇形腫、脳室内の脈絡乳頭腫および乳頭癌、テント下では髄芽腫、脳室上衣腫などが見られる。多くが実質性成分を主とするため、超音波検査ではいずれも周囲組織よりも高輝度領域として描出される。輝度による鑑別診断は困難だが、腫瘍の存在部位と形態の把握は可能である(Fig.6a,b).



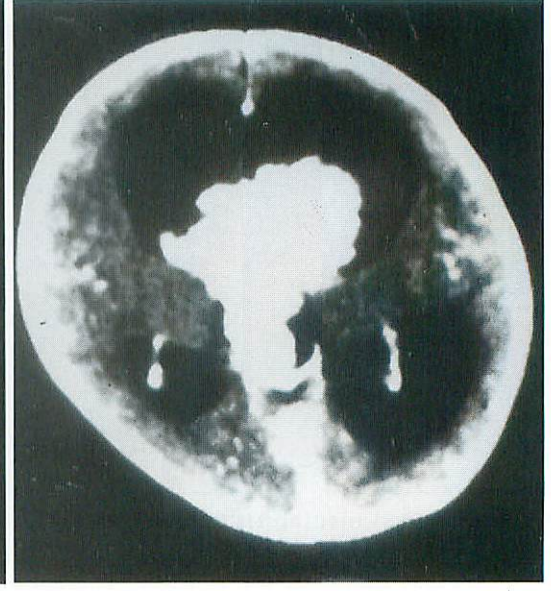


Fig.6 Choroid plexus papilloma of term infant

a h

- a: Coronal echogram
- b: Contrast enhanced CT image. High echoic papillaly tumor extended from IIIrd ventricle to lateral ventricle is clearly visualized by echogram and enhanced CT.

#### 6) 脳形成異常

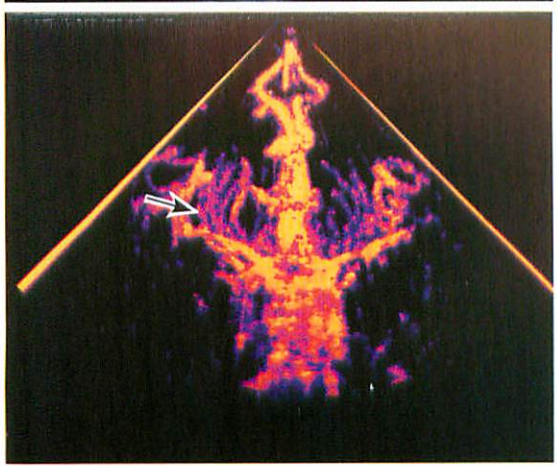
超音波は形態診断に優れ、また矢状断と冠状断による観察が可能なため、脳形成異常の診断に優れている。しかし、超音波はその減衰により観察できる範囲が限られている。よってしばしば著明な頭囲拡大を来す全前脳胞症、Dandy-Walker症候群などでは十分な観察が困難となる場合がある。また、前述のごとく胎齢30週未満の早期産児では、脳回の形成が不十分なため、滑脳症や小脳低形成を疑わせる像を呈することがあり、症例の週齢も考慮して診断を進める必要がある。5.

# 超音波パワードップラー法

パワードップラー法 (PDUS) は流れの方 向の情報を犠牲にした代償に、角度依存性の減 少・低速流の感度改善を可能にしたドップラー 法であり、屈曲蛇行した脳血管の描出には摘し ていると考えられる25). 筆者らの検討では PDUSにより新生児脳の主幹動脈及びその主 要分枝の描出が可能であるのみならず、外側線 条体動脈、視床穿通動脈などの深部灰白質穿通 動脈の観察が可能である(Fig.7a,b). これら 穿通枝や中大脳動脈の末梢は,一断面で観察が 困難である場合もMIPによる3次元表示にす れば観察は容易となる(Fig.7c)<sup>26,27)</sup>, 臨床例 においては両側レンズ核領域の虚血性病変を有 した症例でPDUSにて両側外側線条体動脈が 描出されなかった. 大脳半球に広汎な脳虚血が 見られた症例では,両側外側線条体動脈のみな らず両側中大脳動脈も描出されず、PDUSに て脳の血流低下を判定できる可能性が示唆され た. 脳腫瘍例では、PDUSにて腫瘍による血 管の圧排偏位が描出され、また腫瘍内のドップ







a b

Fig.7 Normal intracranial arterial images by PDUS

- a: Coronal image passing through the suprasellar cistern
- b: Mid sagittal plane
- c : Maximum intensity projection image obtained from coronal images.
  - PDUS visualize the trunks and main branches of normal intracranial arteries of infants. Also note the prominent lenticulo-striate arteries (arrow) and thalamo-perforating arteries (arrowhead).

ラー信号の存在から腫瘍血管の多寡の判定が可 能であった、脳形成異常例の検討では、MIP 像から血管の走行異常は把握可能であった.

解決されるべき点は多くあるが、PDUSは、 B-モード法に血流情報という質的情報を付加 するものとして新生児頭蓋内疾患の診断に有用 と考えられる.

# おわりに

新生児頭部領域の超音波診断は施設により小 児科医, 脳外科医, 放射線科医が検査を行って いるが、専門に検査をしている場合が少ないと 思われる. そこで、本稿では小児脳エコーのス クリーニング検査法と日常遭遇することが多い 疾患を中心にその有用性を概説した.

検査数としては腹部領域に比べ多くはない が、患児を移動せずに検査可能な頭部領域の超 音波検査はB-モード法の画質の改善やPDUS による血管の情報の付加により, 今後より発展 するものと考える.

本稿が少しでも読者諸兄の日常診療に役立て ば幸いである.

# ●文献

- 1) 内藤久美子, 伊藤勝陽:装置の調整における 注意点-カラードプラ法も含めて-.画像診 断 1996;16:596-603.
- 2) Fischer A, Maertens P: Neonatal neurosonography, Techniques and normalanatomy, Neurosonology, 289-304, Ed by Tegeler CH, et al., Mosby, 1995.
- 3) 奥寺利男,中村康寛, Huang YP:脳血管の 発達 脳表面. 小児の頭部画像診断, 21-40, 竹下研三編,南江堂,1993.
- 4) Chi JG, Dooling EC, Gilles FN: Gyral development of the human brain.Ann Neurol 1997; 1:86-93.
- 5) Huang CC, Lu C: The differences in growth of cerebellar vermis between appropriate -for age and small-for-gestational-age new borns. Early Hum Dev 1993; 33: 9 - 19.
- 6) Hambleton G. Wigglesworth JS: Origine of intraventricular hemorrhage in the preterum infant. Arch Dis Child 1976; 51 : 651-659.

- 7) 高嶋幸生, 吉野邦男, 小栗良介, 他:新生児頭 蓋内出血の病理. 日本新生児学会雑誌 1981; 17:106-114.
- 8) Bergman I, et al: Intracerebral hemorrhage in the full term neonatal infant. Pediatrics 1985; 75: 488-496.
- 9) Gressens P, Richelme C, Kadhim HJ, et al: The geminatice zone produces the most cortical astrocytes after neuronal migration in the developing mammalian brain. Biol Neonate 1992; 61: 4-24.
- 10) Papile L, Burnstein J, Brunstein R, et al: Incidence and evolutin of subependymal and interventricular hemorrhage: A study of infants with birth weight less than 1,500 gm. J Pediatr 1978; 92: 529-534.
- 11) Grant EG, Borts F, Schellinger D, et al: Cerebral intra paranchymal hemorrhage in neonates : sonographic apearance. AJNR 1981 ; 2 : 129-132.
- 12) Huang CC, Shen EY: Tentorial subdural hemorrhage in term newborns: ultrasonographic diagnosis and clinical correlates. Pediatr Neurol 1991; 7:171-177.
- 13) Maertens P: Imaging through the posterior fontanelle: J Child Neurol 1989; 4: 562 - 567.
- 14) Kazam E, Rudelli R, Monte W, et al: Sonographic diagnosis of cisternal subarachnoid hemorrhage in the premature infant. AJNR 1994; 15: 1009-1020.
- 15) Barkovich AJ: MR of perinatal asphyxia: Correlation of gestational age with pattern of damage. AJNR 1990; 11:1087-1096.
- 16) Flodmark O, Lupton B, Li D, et al : MR imaging of periventricular leukomalacia in childhood. AJNR 1989; 10: 111-118.
- 17) 橋本和弘,喜田義和,竹内 豊:脳室周囲高 エコー域の予後 - 嚢胞状脳室周囲白質何かと の関係。脳と発達 1993; 25:412-416.
- 18) Pedcock FS, et al : Neurosonographic features of periventricular echodensities with cerebral palsy in preterm infants. J Pediatr 1990; 116: 417-422.
- 19) Barkovich AJ: MR and CT evaluation of profound neonatal and infantile asphyxia. AJNR 1992; 13:959-972.
- 20) Han BK, Babcock DS, Mc Adams L: Bacterial meningitis in infants : sonographic findings. Radiology 1985; 154: 645-650.
- 21) Johnson SC, Kazzi NJ: Candida brain abscess: a sonographic mimicker if in-

- tracranial hemorrhage. J Ultrasound Med 1993; 4: 237-239.
- Barkovich AJ: Hydrocephalus-Clinical aspects of hydrocephalus, Pediatric Neuroimaging, 440-441, Raven Press, 1995.
- 23) Radkowski MA, Nidich TP, Tomita T, et al: Neonatal brain tumors: CT and MR findings. J CAT 1988; 12: 10-20.
- 24) Jooma R, Kendall BE: Intracranial tumors in the first year of life. Neuroradiology 1982; 23: 267-274.
- 25) 東泉隆夫:カラードップラーの新技術. 臨床 画像 11, 1995; 10-16.
- 26) 石藏礼一, 安藤久美子, 冨永 了, 他, 超音 波パワードップラー法による新生児脳血管描 出能の検討. 小児放射線学会誌 14, 1998; 114-119.
- 27) Berger G, Rosch P, Steffgen L: 3D-Rekonstruktion intrakranieller Gefasse mit Hilfe des Colour-Doppler: Energy (CDE)-Verfahrens-Ereste Versuche. Ultraschall in der Medizin. 1996; 17: 277-280.